

УДК 524.38

О. В. Еретнова, Т. В. Краснова, М. А. Свечников

Челябинский государственный университет
454021, Россия, г. Челябинск, ул. Братьев Кашириных, 129

Эволюционный статус контактных тесных двойных звезд ранних спектральных классов

На основе данных «Каталога приближенных фотометрических и абсолютных элементов затменных переменных звезд» Свечникова М. А. и Кузнецовой Э. Ф. построена диаграмма Герцшпрунга—Рассела для контактных тесных двойных систем ранних спектральных классов (KP-систем). Для этих двойных систем получены следующие распределения: избыток светимости — масса, избыток радиуса — масса, избыток светимости — отношение масс и избыток радиуса — отношение масс. Все контактные тесные двойные звезды ранних спектральных классов разделены на четыре группы: 1 — массивные KP-системы, оба компонента которых принадлежат начальной главной последовательности; 2 — массивные KP-системы, оба компонента которых принадлежат конечной главной последовательности; 3 — маломассивные системы, прошедшие стадию процесса «перемены ролей» компонентов ($q < 0.5$); 4 — маломассивные системы, не испытавшие «перемены ролей» компонентов ($q \geq 0.5$). Для маломассивных KP-систем с $q < 0.5$, короткопериодических разделенных систем главной последовательности (РГП-систем) с $P < 2^d$ и спектрами главного компонента от F2 до A5 и полуразделенных систем типа R СMa построена диаграмма Каретникова. Полученные результаты служат доказательством того, что маломассивные KP-системы произошли от короткопериодических РГП-систем, пройдя стадию полуразделенных систем типа R СMa. Для каждой группы KP-систем оценена пространственная плотность с учетом эффектов наблюдательской селекции. Наиболее многочисленными среди KP-систем являются маломассивные системы, прошедшие процесс «перемены ролей» компонентов.

ЕВОЛЮЦІЙНИЙ СТАТУС КОНТАКТНИХ ТІСНИХ ПОДВІЙНИХ ЗІРОК РАННІХ СПЕКТРАЛЬНИХ КЛАСІВ, Єретнова О. В., Краснова Т. В., Свечников М. А. — На основі даних «Каталога наближених фотометрических і абсолютних елементів затемнюваних змінних зірок» Свечникова М. А. і Кузнецової Е. Ф. побудовано діаграму Герцшпрунга—Рассела для контактних тісних подвійних систем ранніх спектральних класів (KP-систем). Для цих подвійних систем отримані такі розподіли: надлишок світимості — маса, надлишок радіуса — маса, надлишок світимості — відношення мас та надлишок радіуса — відношення мас. Всі контактні тісні подвійні зірки ранніх спектральних класів поділено

на чотири групи: 1) масивні КР-системи, обидва компоненти яких належать до початкової головної послідовності; 2) масивні КР-системи, обидва компоненти яких належать до кінцевої головної послідовності; 3) маломасивні системи, що пройшли стадію «обміну ролей» компонентів ($q < 0.5$); 4) маломасивні системи, що не пройшли стадії «обміну ролей» компонентів ($q \geq 0.5$). Для маломасивних КР-систем з $q < 0.5$, короткoperіодичних розділених систем головної послідовності (РГП-систем) з $P < 2^d$ та спектром головного компонента від F2 до A5 і напіврозділених систем типу R CMa побудовано діаграму Каретникова. Отримані результати свідчать, що маломасивні КР-системи походять від коротко-періодичних РГП-систем, які пройшли стадію напіврозділених систем типу R CMa. Для кожної групи КР-систем оцінено просторову густину з урахуванням ефектів спостережної селекції. Найчисленнішими серед КР-систем виявилися маломасивні системи, що пройшли стадію «обміну ролей» компонентів.

THE EVOLUTION STATUS OF CONTACT CLOSE BINARIES OF EARLY SPECTRAL TYPES, by Eretnova O. V., Krasnova T. V., Svechnikov M. A. — Hertzsprung — Russel diagram is constructed for contact close binary stars of early spectral types (CE-systems) on the basis of the “Catalogue of approximate photometric and absolute elements of eclipsing variable stars” by Svechnikov M. A. and Kuznetsova E. F. The excess luminosity — mass, excess radius — mass, excess luminosity — mass ratio, and excess radius — mass ratio relations are obtained for these binary systems. All contact close binary stars of early spectral types are subdivided into 4 groups: 1) massive CE-systems of the pre-main sequence; 2) massive CE-systems of the post-main sequence; 3) low mass systems that have passed the «role exchange» phase ($q < 0.5$); 4) low mass systems which have not passed the mass exchange phase ($q \geq 0.5$). Karetnikov’s diagram is constructed for low-mass CE-systems with $q < 0.5$, short-period detached main-sequence systems (DMS-systems) with $P < 2^d$ and SpI from F2 to A5, and semi-detached systems of the R CMa type. The results prove that low-mass CE-systems with $q < 0.5$ descended from short-period DMS-systems having passed the stage of semi-detached R CMa systems. The spatial density of stars in every CE-group is estimated taking into account the effect of observational selection. The low-mass stars which have experienced mass exchange are the most numerous among CE-systems.

ВВЕДЕНИЕ

Согласно классификации М. А. Свечникова [9, 10, 14] контактные системы ранних спектральных классов (КР-системы) — это системы, где оба компонента близки по размерам к соответствующим внутренним критическим поверхностям (ВКП) или заполняют их. Спектр главного компонента (более массивного) — не позже F0, периоды превышают 0.5^d . Спектр спутника либо такой же, как у главной звезды, либо более поздний.

К тесным двойным системам ранних спектральных классов относятся около 15 % всех двойных звезд, среди которых встречаются системы, находящиеся на различных стадиях эволюции. Однако эволюционный статус таких систем полностью еще не ясен. С целью его уточнения мы изучаем некоторые статистические зависимости, позволяющие разделить изучаемые КР-системы на эволюционно однородные группы.

Исследование КР-систем основано на материале «Каталога приближенных фотометрических и абсолютных элементов затменных переменных звезд» М. А. Свечникова и Э. Ф. Кузнецовой [12]. Он содержит наиболее полные сведения о тесных двойных системах. В нем собраны данные о 392

КР-системах, из которых 163 системы с известным спектром главного компонента.

1. ДИАГРАММА ГЕРЦШПРУНГА—РАССЕЛА

Для КР-систем с известным спектром главного компонента получена диаграмма Герцшпрунга — Рассела (рис. 1, 2), из которой видно, что главные компоненты имеют спектры от O5 до F3, а спутники — от O8 до G7. Главные компоненты располагаются вблизи начальной главной последовательности (НГП), построенной согласно Мейдеру и Майнету [18]. На диаграмме заметны более заселенные КР-системами участки и участки разрежений. На основании этого КР-системы поделены на три группы:

- 1) массивные системы с массой главного компонента $M_1 > 16M_\odot$ и спектром от O5 до B1;

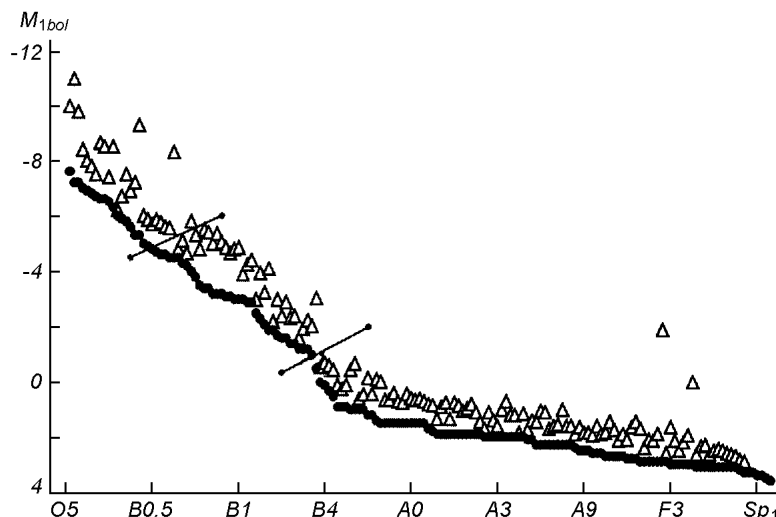


Рис. 1. Диаграмма Герцшпрунга — Рассела для главных компонентов КР-систем с известным спектром главного компонента

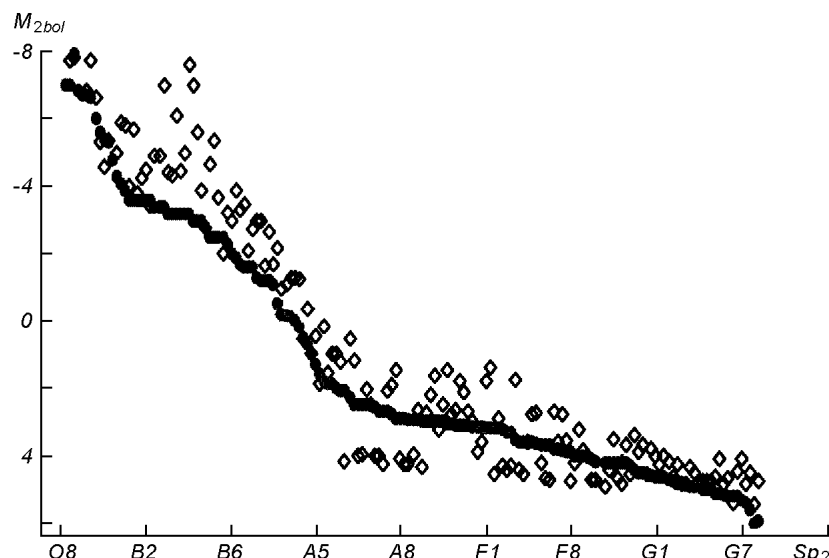


Рис. 2. Диаграмма Герцшпрунга — Рассела для спутников КР-систем с известным спектром главного компонента

2) среднемассивные КР-системы с массой главного компонента от $16M_{\odot}$ до $4.1M_{\odot}$ и спектром от B1 до B8.5;

3) маломассивные системы с массой $M_1 < 4.1M_{\odot}$ и спектром главной звезды позднее B8.5.

Спутники большинства массивных и среднемассивных систем, как и их главные компоненты, располагаются в пределах НГП (рис. 2). Эти системы находятся на ранних стадиях эволюции и, вероятно, уже при образовании были близки к контакту. У небольшой группы массивных систем как главные компоненты, так и спутники расположены существенно правее начальной главной последовательности. Это говорит о том, что они проэволюционировали и сейчас находятся на конечной главной последовательности.

Главные компоненты маломассивных КР-систем также расположены на диаграмме Герцшпрунга — Рассела в пределах главной последовательности. У спутников же отклонения от начальной главной последовательности гораздо больше, а часть их расположена на диаграмме левее начальной главной последовательности. По-видимому, большинство маломассивных КР-систем испытали процесс «перемены ролей» прежде, чем они достигли контакта.

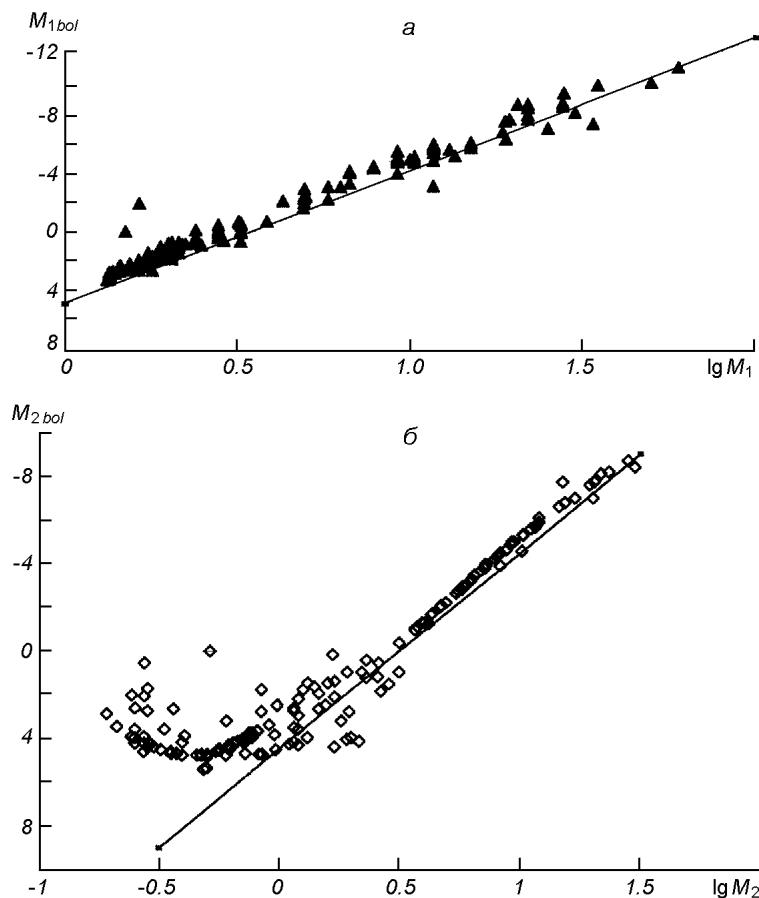


Рис. 3. Зависимость масса — светимость для КР-систем с известным спектром главного компонента: *a* — для главных компонентов, *б* — для спутников. Сплошные линии — данные [2] для главных компонентов

2. ЗАВИСИМОСТЬ МАССА—СВЕТИМОСТЬ И МАССА—РАДИУС

На рис. 3 и 4 представлены зависимости масса — светимость и масса — радиус для главных компонентов и спутников КР-систем с известным спектром главного компонента. Сплошные линии — данные для звезд главной последовательности, полученные С. Ю. Гордой и М. А. Свечниковым [2]. На зависимостях для главных компонентов (рис. 3, а и 4, а) можно заметить более заселенные КР-системами участки и менее заселенные, что подтверждает возможность разделения КР-систем на три указанные выше группы.

Главные компоненты КР-систем практически не отклоняются от зависимости масса — светимость для звезд главной последовательности, в отличие от спутников. Значительные избытки светимостей имеют спутники маломассивных систем с малыми значениями отношения масс q (рис. 3, б). Кроме того, спутники маломассивных систем существенно отклоняются от зависимости масса — радиус для звезд главной последовательности (рис. 4, б), что может свидетельствовать о том, что эти системы уже испытали процесс «перемены ролей».

Главные компоненты большинства маломассивных и всех среднемассивных КР-систем хорошо удовлетворяют зависимости масса — радиус для

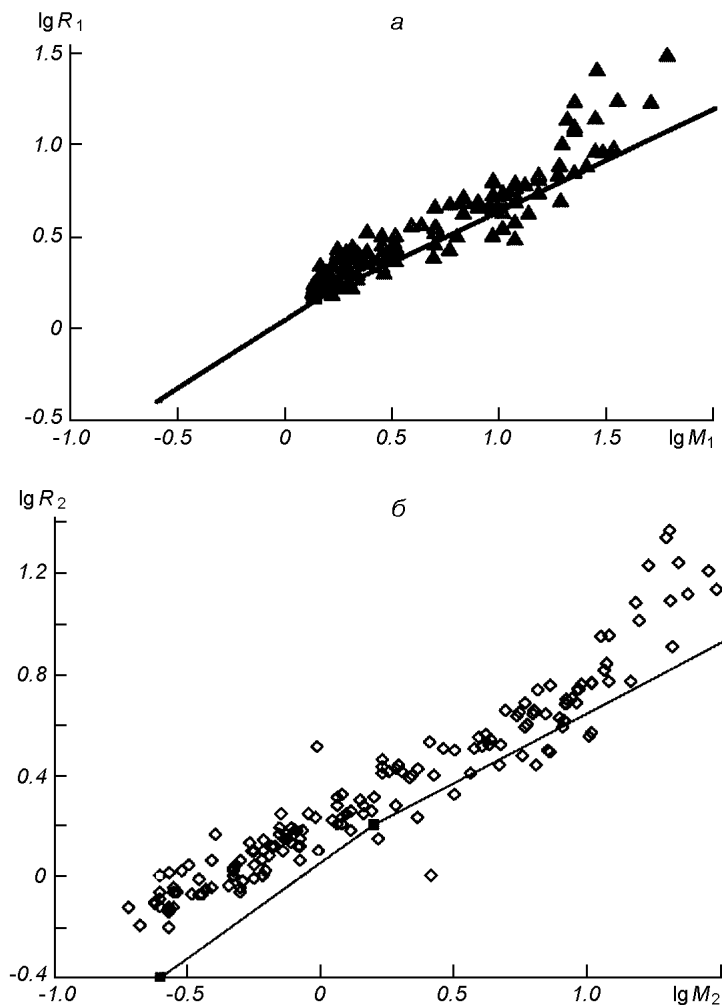


Рис. 4. То же для зависимости масса — радиус

звезд главной последовательности (рис. 4, а). Избытки радиусов заметны лишь для небольшой группы массивных систем. Очевидно, эти системы соответствуют той группе проэволюционировавших массивных систем, которые значительно отклоняются от главной последовательности и располагаются правее ГП.

3. ЗАВИСИМОСТИ ИЗБЫТКОВ СВЕТИМОСТЕЙ И РАДИУСОВ ОТ МАССЫ И ОТ ОТНОШЕНИЯ МАСС КОМПОНЕНТОВ

Для каждой из трех выделенных нами групп КР-систем были получены зависимости избыток светимостей и радиусов от массы главного компонента и от отношения масс компонентов.

Значения избыток светимостей вычислялись как разность между наблюдаемой светимостью звезды и светимостью, найденной из соотношения масса — светимость (и масса — радиус) для звезд главной последовательности: $\Delta M_{bol} = M_{bol} - M_{bol\text{ГП}}$ и $\Delta \lg R = \lg R - \lg R_{\text{ГП}}$.

Оказалось, что главные компоненты всех групп КР-систем не имеют ни заметных избыток светимостей (рис. 5, а), ни существенных избыток радиусов (рис. 5, б), что указывает на их незначительную эволюцию. Спутники массивных и среднемассивных систем также практически не имеют избыток светимостей и радиусов (рис. 6). В то же время спутники маломассивных систем обнаруживают существенные избыток светимостей и радиусов, причем с уменьшением массы избыток светимости увеличивается

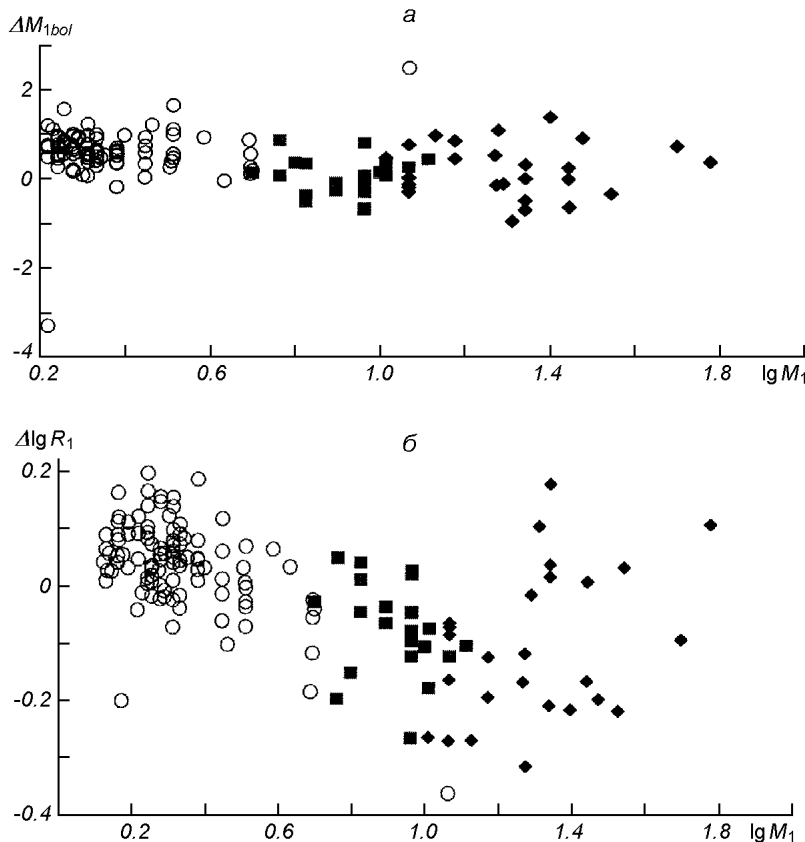


Рис. 5. Зависимость избыток светимости — масса (α) и избыток радиуса — масса (β) для главных компонентов КР-систем: ромбики — массивные системы, квадратики — среднемассивные системы, кружки — маломассивные системы

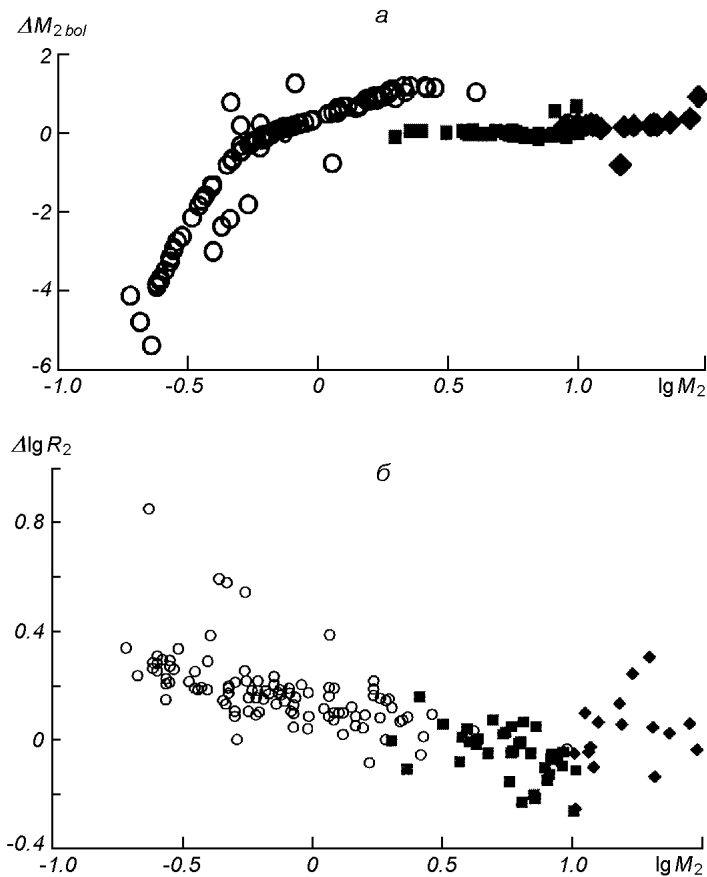


Рис. 6. Зависимости избыток светимости — масса (а) и избыток радиуса — масса (б) для спутников КР-систем: ромбики — массивные системы, квадратики — среднемассивные системы, кружки — маломассивные системы

по квадратичной зависимости $\Delta M_{2,bol} = -4.5(\lg M_2)^2 + 5.9\lg M_2 - 1.2$, а радиуса — по линейной: $\Delta \lg R_2 = 0.13 - 0.25M_2$.

Такая тенденция для маломассивных КР-систем может объясняться «переменой ролей» в них прежде, чем они станут контактными. Об этом свидетельствует и отсутствие избытков радиусов и светимостей у главных компонентов таких систем (так как наблюдаемые сейчас главные компоненты до «перемены ролей» являлись спутниками и принадлежали главной последовательности).

На рис. 7 представлены зависимости избытков светимостей и радиусов от отношения масс компонентов $q = M_2/M_1$ для спутников маломассивных КР-систем. Значительные избытки светимостей и радиусов наблюдаются для маломассивных систем с $q < 0.5$, в то время как для систем с $q \geq 0.5$ они незначительны. Подобное увеличение избытка радиуса и светимости с уменьшением массы и отношения масс компонентов для спутников маломассивных КР-систем отмечались и ранее [13, 16].

Таким образом, маломассивные КР-системы можно разделить на две группы: 1) системы с $q < 0.5$, для которых наблюдаются и значительные избытки радиусов, и существенные избытки светимостей; 2) системы с $q \geq 0.5$, не имеющие заметных избытков светимостей и радиусов.

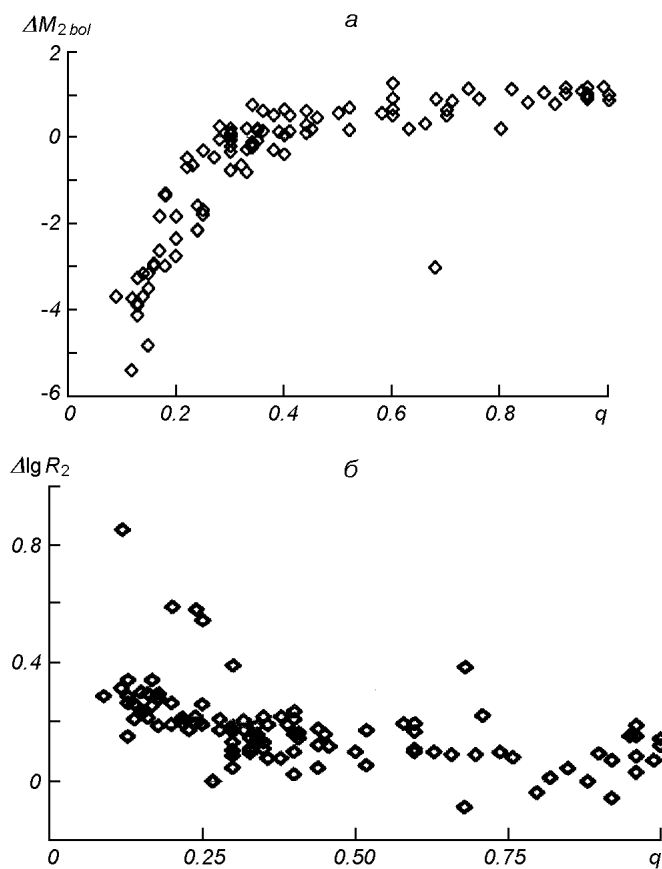


Рис. 7. Зависимости избытка светимости (а) и избытка радиуса (б) от отношения масс для спутников КР-систем: ромбики — массивные системы, квадратики — среднемассивные системы, кружки — маломассивные системы

В маломассивных системах с $q < 0.5$ главный компонент является звездой главной последовательности, а спутник — субгигантом. Предполагается, что такие системы происходят от короткопериодических разделенных систем главной последовательности. Разделенную систему главной последовательности (РГП-систему) составляют компоненты, являющиеся звездами главной последовательности и не заполняющие свои внутренние критические поверхности (ВКП) [11, 14]. Затем эти системы проходят стадию перемены ролей компонентов и становятся короткопериодическими полуразделенными системами (ПР-системами). Такие ПР-системы ($P \leq 1.25^d$) выделяют в отдельную группу — системы типа R CMa, так как они эволюционируют с большей потерей углового орбитального момента, чем «обычные» полуразделенные системы [13, 15, 17]. Для ПР-систем типа

R CMa характерно, что размеры главных компонентов, являющихся звездами главной последовательности, больше, чем размеры спутников-субгигантов (рис. 8). Это объясняется малой величиной большой полуоси орбиты A и малого значения отношения масс q в системе. В результате

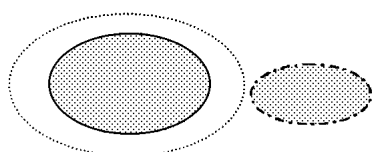


Рис. 8. ПР-системы типа R CMa

потери орбитального углового момента из-за магнитного звездного ветра от спутника и сокращения периода системы эти звезды эволюционируют в маломассивные КР-системы с отношением масс менее 0.5.

Маломассивные КР-системы с $q > 0.5$ (вторая группа), вероятно, образовались как контактные, имеющие общую оболочку в пределах эволюции на главной последовательности [8]. Тогда эти системы становятся контактными, минуя стадию процесса «перемены ролей» компонентов и могут являться предшественниками КW-систем.

В результате все рассматриваемые КР-системы можно разделить на четыре группы:

- 1) массивные системы, оба компонента которых располагаются вблизи начальной главной последовательности;
- 2) массивные системы, один или оба компонента которых находятся в пределах конечной главной последовательности;
- 3) маломассивные системы с $q < 0.5$, прошедшие через «перемену ролей» компонентов;
- 4) маломассивные системы с $q \geq 0.5$, не испытавшие «перемены ролей» компонентов.

При этом группа среднемассивных систем, выделенных в результате анализа диаграммы Герцшпрунга—Рассела, была включена в группу массивных систем начальной главной последовательности, так как на полученных зависимостях эти две группы систем ведут себя одинаковым образом.

4. ДИАГРАММА КАРЕТНИКОВА

На рис. 9 изображены положения компонентов КР-систем с $q < 0.5$, РГП-систем с периодами $P < 2^d$ и спектром главного компонента от F2 до A5, ПР-систем типа R СМа с периодами $P \leq 1.25^d$ на диаграмме Каретникова. Данная диаграмма представляет собой зависимость относительной скорости заполнения главным и вторичным компонентами своих ВКП от степени наполнения их главным компонентом и спутником [6, 7]. Видно, что главные компоненты и спутники короткопериодических ПР-систем типа R СМа располагаются в нижней части диаграммы, где $R_1/R_{1kp} \leq R_2/R_{2kp}$, причем спутники уже заполнили свой ВКП ($R_2/R_{2kp} \geq 1$). Для главных компонентов характерна тенденция к заполнению ВКП ($R_1/R_{1kp} \rightarrow 1$). Это свидетельствует о произошедшей в этих системах «перемене ролей» компонентов. Область расположения на диаграмме Каретникова маломассивных КР-систем, испытавших процесс «перемены ролей» компонентов, частично перекрывается с областью расположения на диаграмме ПР-систем типа R СМа. В работе [13] были получены подобные распределения и показано, что область расположения систем типа R СМа ближе к области расположения маломассивных КР-систем на диаграмме Каретникова, чем к области «обычных» ПР-систем, что может являться некоторым подтверждением эволюции систем типа K СМа в маломассивные КР-системы.

5. ОЦЕНКА ПРОСТРАНСТВЕННОЙ ПЛОТНОСТИ ТДС ТИПА КР

Наблюданное число КР-систем искажено эффектами наблюдательной селекции и не отражает действительной численности исследуемых систем. Для определения истинной численности КР-систем необходимо ввести поправки, связанные с вероятностью обнаружения КР-систем как затменных переменных звезд. Однако вероятность открытия зависит и от звездной величины системы m_v . Для слабых звезд эффекты наблюдательной селекции становятся более сложными. Таким образом, для систем с m_v больше некоторого

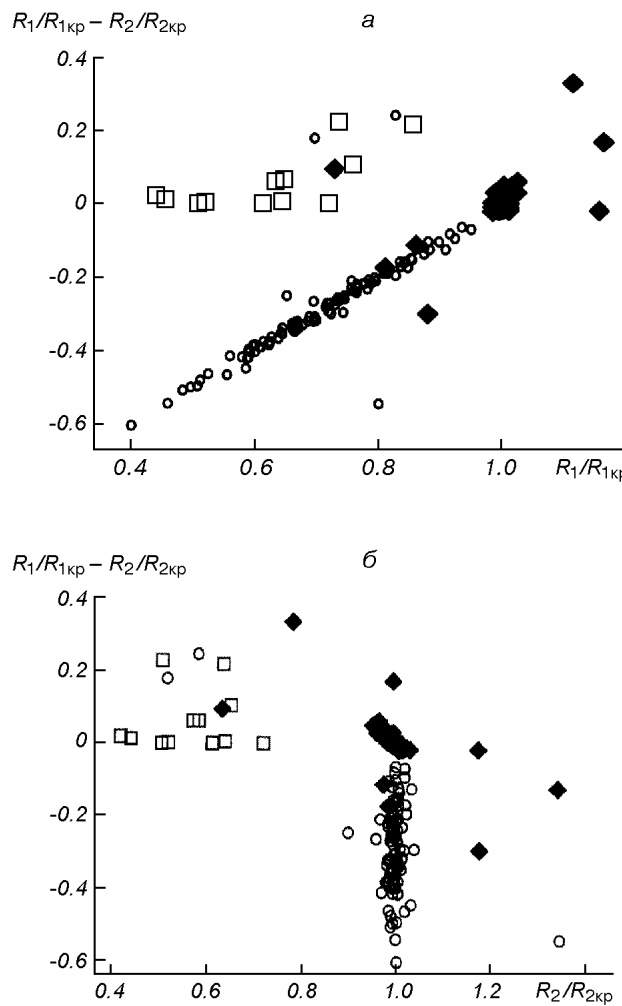


Рис. 9. Диаграмма Каратникова для систем с известным спектром главного компонента: *а* — для главных компонентов, *б* — для спутников. Ромбики — маломассивные КР-системы с $q < 0.5$, квадратики — РГП-системы с $P < 2^d$ и спектром от F2 до A5, кружки — ПР-системы типа K CMa

граничного значения $m_{\text{V}_{\text{рп}}}$ необходимо учитывать неполноту исследуемой выборки.

Вероятность открытия каждой системы была определена в зависимости от массы главного компонента, отношения масс и угла наклона орбиты: $W_j = W_j(M_1, q, i)$ на основе данных работы [4]. Затем находилась сумма $N_0^i = \sum (1/W_j)$ в данном интервале масс главного компонента и данного блеска. При этом из рассмотрения исключались системы с $W_j < 0.001$, так как при определении столь малых значений могли получаться значения N_0^i , сильно отличающиеся от действительности. Затем число N_0^i делилось на объем пространства, в котором наблюдаются КР-системы с данными массами. Объем V_i оценивался как объем шарового слоя с радиусом $r_{\text{рп}} (M_1^i)$ и толщиной 180 пк, поскольку согласно [5] эффективная полутолщина плоской подсистемы в Галактике, которую образуют ТДС, порядка 90 пк. Расстояние до каждой системы было взято из работы [1], где они вычислялись с учетом индивидуальной величины межзвездного поглощения.

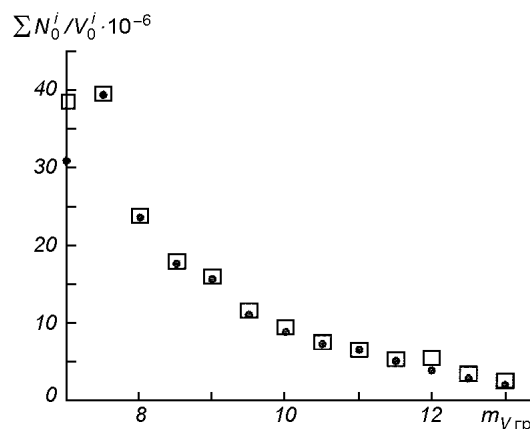


Рис. 10. Зависимость пространственной плотности KP-систем от граничной звездной величины $m_{V\text{rp}}$: точки — системы с известным спектром главного компонента, квадратики — все KP-системы

Зная суммарное количество KP-систем в единичном объеме пространства $\sum_i (N_0/V_i)$, получена зависимость пространственной плотности KP-систем от звездной величины (рис. 10). Из данной зависимости можно определить значение звездной величины, до которой выборка будет полной. В случае KP-систем $m_{V\text{rp}} = 7.5^m$. Для более слабых звезд необходимо учитывать неполноту выборки.

В таблице приведена как наблюдаемая численность KP-систем, принадлежащих каждой из четырех групп, так и исправленная за эффекты наблюдательной селекции. Видно, что среди наблюдаемых KP-систем наиболее многочисленны маломассивные системы с $q < 0.5$, т. е. системы, испытавшие процесс перемены ролей компонентов (около 40 % от общего числа KP-систем). Меньше всего наблюдается массивных систем, находящихся на конечной главной последовательности (около 14 %). После учета эффектов наблюдательной селекции доля KP-систем каждой группы значительно изменилась: существенно увеличилась доля KP-систем, прошедших через процесс «перемены ролей» компонентов.

Ранее в работе [3] была оценена численность полуразделенных систем типа R СMa с учетом эффектов наблюдательной селекции. Общее их число составило $45 \cdot 10^{-6}$ пк $^{-3}$, с известным спектром главного компонента — $30 \cdot 10^{-6}$ пк $^{-3}$. Сравнивая эти данные со значениями, полученными для маломассивных KP-систем с $q < 0.5$, можно сказать, что в процессе

Численность KP-систем

Количество KP-систем в единице объема пространства, 10^6 пк $^{-3}$				
	Маломассивные системы		$\text{Mg}_1 > 1.2 M_\odot$	
	$q < 0.5$	$q > 0.5$	Конечная главная последовательность	Начальная главная последовательность
Все системы	33.75 (88.8 %)	5.09 (13.39 %)	0.05 (0.13 %)	0.06 (0.157 %)
38	31.4 (89.7 %)	3 (8.57 %)	0.03 (8.57 $\cdot 10^{-2}$ %)	0.04 (0.11 %)
С известным спектром главного компонента				
35				
Наблюдаемое количество исследуемых систем				
Все системы	104 (37.8 %)	79 (28.7 %)	38 (13.8 %)	54 (19.6 %)
275	66 (44 %)	31 (20.6 %)	24 (16 %)	29 (19.33 %)
С известным спектром главного компонента				
163				

эволюции время пребывания звезд в стадии полуразделенных систем типа R СМа и в стадии КР-систем примерно одинаково.

1. Гайдук С. И. Исследование распределений двойных звезд в пространстве: Дипл. работа. — Челябинск: Гос. ун.-т, 1990.—53 с.—Машинопись.
2. Горда С. Ю., Свечников М. А. Эмпирические зависимости L — M , R — M , M — T_{eff} для звезд главной последовательности компонентов ТДС и звезд малых масс // Астрон. журн.—1999.—76, № 8.—С. 598—603.
3. Еретнова О. В. Учет эффектов наблюдательной селекции и оценка численности тесных двойных звезд с субгигантами в окрестностях Солнца: Дис. ... канд. физ.-мат. наук. — Челябинск, 1991.—172 с.—Машинопись.
4. Еретнова О. В., Свечников М. А. Оценка вероятности открытия контактных тесных двойных звезд как затменных переменных // Астрономо-геодезические исследования: Сб. науч. тр. — Екатеринбург, 1995.—С. 115—125.
5. Истомин Л. Ф. Некоторые статистические исследования тесных двойных систем // Звездные скопления и двойные системы. — Свердловск, 1978.—С. 148—154.
6. Карапников В. Г. Разделение затменных двойных звезд по степени наполнения полостей Роша // Астрон. циркуляр.—1987.—№ 1485.—С. 6—7.
7. Карапников В. Г., Куценко С. В. Связь между степенью наполнения полости Роша и свойствами затменных двойных звезд // Астрон. циркуляр.—1988.—№ 1528.—С. 11—12.
8. Масевич А. Г., Тутуков А. В. Эволюция звезд: теория и наблюдения. — М.: Наука, 1988.—280 с.
9. Свечников М. А. Каталог орбитальных элементов, масс и светимостей тесных двойных звезд. — Екатеринбург, 1969.—271 с.
10. Свечников М. А. Каталог орбитальных элементов масс и светимостей тесных двойных звезд. — Иркутск: Изд-во Иркут. ун.-та, 1986.—226 с.
11. Свечников М. А. Классификация и физические характеристики затменных переменных звезд: Дис. ... д-ра физ.-мат. наук. — М.: МГУ ГАИШ, 1985.—292 с.—Машинопись.
12. Свечников М. А. Кузнецова Э. Ф. Каталог приближенных фотометрических и абсолютных элементов затменных переменных звезд. — Екатеринбург: Изд-во УрГУ, 1990.—Том 1, 2.
13. Свечников М. А. Кузнецова Э. Ф. Долгополова М. Г. Некоторые физические характеристики разделенных двойных систем типа К СМа // Астрономо-геодезические исследования: Сб. науч. тр. — Екатеринбург, 1990.—С. 109—117.
14. Свечников М. А., Снежко Л. И. Характеристики и эволюция тесных двойных систем. Явления нестационарности и звездная эволюция. — М.: Наука, 1974.—376 с.
15. Budding E. Resolving information of Algol systems // Space Sci. Rev.—1989.—50, N 1/2.—P. 205—217.
16. Dryomova G. N., Svechnikov M. A. Statistical research in evolutionary genetic relationship of DMS-, DW-, KW-, KE-types of double stars // Odessa Astron. Publs.—1999.—12.—P. 187—190.
17. Jben J. Tutukov A. V. The evolution of low-mass close binaries influenced by the radiation of gravitational waves and by a magnetic stellar wind // Astrophys. J.—1984.—284, N 2.—P. 719—744.
18. Maeder A. Meynet G. Tables of evolutionary star models from 0.85 to $120 M_{\odot}$ with overshooting and mass loss // Astron. and Astrophys. Suppl. Ser.—1988.—76.—P. 411—425.

Поступила в редакцию 14.05.01